

اثر شتابهای خطی بر مکریم قابلیت انتقال حرارت در میکرو لوله های حرارتی با شیارهای مثلثی

حسین شکوهمند

استاد گروه مهندسی مکانیک - دانشکده فنی - دانشگاه تهران

احمد کهربائیان

استادیار گروه مهندسی مکانیک - دانشکده فنی - دانشگاه تهران

نصرالله تابنده

دانشیار گروه مهندسی مکانیک - دانشکده فنی - دانشگاه تهران

احمد جلیلوند

فارغ التحصیل کارشناسی ارشد تبدیل انرژی - دانشکده فنی - دانشگاه تهران

(تاریخ دریافت ۷۹/۱۰/۱۲، تاریخ تصویب ۸۱/۲/۲۸)

چکیده

یکی از کاربردهای اصلی میکرو لوله های حرارتی، دفع گرمای ایجاد شده بوسیله قطعات الکترونیکی و کامپیوترا می باشد. قابلیت بالای میکرو لوله های حرارتی در دفع گرمای ایجاد شده در تجهیزات الکترونیکی و کامپیوترا که در یک حجم کوچک جا سازی شده اند، و همچنین قابلیت ایجاد توزیع یکنواخت دما در این تجهیزات، موجب استفاده روز افزون آنها در صنعت شده است. قطعات الکترونیکی که در هواپیماها و موشکها و ...جا سازی میگردند، و نیز سیستم میکرو لوله هایی که برای خنک کاری آنها تعییه میشوند، تحت تاثیر شتابهای مختلفی قرار می گیرند. این شتابها بر عملکرد اینگونه لوله های حرارتی تاثیر بسیاری دارند.

در لوله های حرارتی، فرایند برگشت مایع از کندانسور به اوپرатор اهمیت خاصی دارد و لازم است که هر عامل تاثیر گذار بر این فرایند مورد بررسی قرار گیرد. شتابهای خطی از عواملی هستند که بر روی برگشت مایع از تبخیر کننده به کندانسور تاثیر می گذارند و می توانند لوله حرارتی را دچار خشکی نمایند. میکرو لوله های حرارتی بجای مواد متخلخلی به نام فتیله، شیارهای موئینگی دارند که میتوانند مایع را از کندانسور به اوپریتور بر گردانند. مقطع این شیارها معمولاً به شکل مثلث است. با مطالعه یکی از این شیار های مثلثی در یک میکرو لوله می توان نتایج حاصل از آنرا به هر نوع میکرو لوله ای تعیین کرد. در این مقاله با استخراج رابطه ای برای شتاب بحرانی، اثرات شتابهای خطی بر شعاع موئینگی مایع و حداقل قابلیت انتقال حرارت میکرو شیار مطالعه شده و نتایج حاصله با حالت بدون شتاب مقایسه میشود. اثرات اندازه و جهت شتاب بر روی حداقل حرارت انتقال یافته مورد بررسی قرار گرفته است. در مقاله حاضر اثرات اصطکاک در مرزهای مایع-بخار و مایع-جامد بر روی مکریم قابلیت انتقال حرارت میکرو شیار نیز مد نظر قرار گرفته شده است.

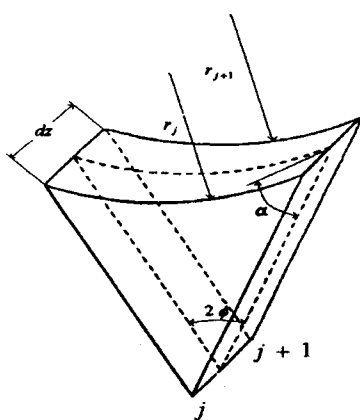
واژه های کلیدی : میکرو لوله حرارتی، انتقال حرارت، تغییر فاز، شتاب خطی

مقدمه

عملکرد میکرو لوله های حرارتی بسیار شبیه لوله های حرارتی معمولی است، با این تفاوت که برای برگرداندن مایع از تبخیر کننده به کندانسور، بجای استفاده از یک فتیله متخلخل، از شیار های موئینگی استفاده میشود. برگشت مایع از اوپرатор به کندانسور به توان پمپاژ موئینگی مستقیماً به شعاع موئینگی مینیموم وابسته است و در تعیین ظرفیت انتقال حرارت مکریم در لوله های حرارتی معمولی و میکرو لوله های حرارتی نقش مهمی دارد. این

میکرو لوله های حرارتی وسائل بسیار کوچکی هستند که در اثر تغییر فاز سیال درون آنها، انرژی حرارتی را انتقال می دهند. قطر هیدرولیکی میکرو لوله ها حدود ۱۰۰ میکرون می باشد و طول آنها معادل چند سانتیمتر است و اغلب برای دفع گرمای ایجاد شده در پکیجهای الکترونیکی کوچک به کار می روند. میکرو لوله ها علاوه بر آنکه قابلیت انتقال مقدار زیادی گرما را دارند، باعث توزیع یکنواخت دما نیز می گردند، که این امر ناشی از جریان دو فازی سیال در داخل آنهاست.

مایع-بخار ناچیز فرض شده است. این فرض مقداری خطأ در نتایج بوجود می‌آورد. فرض دیگر در این مدل، اینست که جریان بخار آرام و غیر قابل تراکم می‌باشد. نتایج حاصل از این مدل با نتایج تجربی انطباق نسبتاً خوبی دارند. لانگتین [۳] نیز با استفاده از یک مدل یک بعدی، و با در نظر گرفتن اثرات فشار بخار و فشار دینامیکی، یک میکرو لوله با مقطع مثلثی را در حالت پایدار مطالعه کرد. در مدل لانگتین، معادلات حاکم بر حرکت مایع و بخار در یک میکرو لوله حرارتی استخراج گردید. سپس معادلات بدست آمده که به هم وابسته می‌باشند، بصورت عددی حل شدند. در مدل لانگتین اثرات شتاب جاذبه نیز در نظر گرفته شده است. نتایج حاصل شده نسبت به نتایج پیترسون دقیق‌تری داشته و انطباق بهتری با نتایج آزمایشی دارد. در مدل یک بعدی دیگری که توسط پیترسون [۲] ارائه شد، اثرات جریان بخار بر حرکت مایع در داخل یک میکرو شیار مثلثی مطالعه گردید. در این مدل از روش عددی حجم محدود برای مطالعه ماکریم قابلیت انتقال حرارت در یک میکرو شیار استفاده شد [۱]. حد موئینگی مبنای تحلیل در این مدل می‌باشد و اثرات شتاب جاذبه نیز منظور شده است. به علت در نظر گرفتن سرعت مایع در مرز مشترک مایع و بخار، نتایج حاصل از این مدل نسبت به مدل قبلی پیترسون انطباق بهتری با نتایج آزمایشی دارد.



شکل ۱: نحوه قرار گیری مایع در یک شیار مثلثی.

در لوله‌های حرارتی، فرایند برگشت مایع از کندانسور به تبخیر کننده اهمیت خاصی دارد و لازم است که هر عامل تاثیر گذار بر این فرایند، مانند شتاب جاذبه،

حد پمپاژ موئینگی هنگامی فرا می‌رسد که فشار پمپاژ موئینگی قادر نباشد بر مجموع افت فشارهایی که در مسیر جریان مایع و بخار وجود دارند، غلبه نماید. این حد را حد دهنده اهمیت شعاع موئینگی مایع در بخش تبخیر کننده، Δp_c ، در تعیین فشار پمپاژ موئینگی (Δp) می‌باشد. کاهش شعاع موئینگی در تبخیر کننده باعث افزایش فشار پمپاژ موئینگی می‌شود. ولی کاهش این شعاع محدود به شرایط خاصی است که دانستن آن شرایط از اهمیت زیادی برخوردار است.

$$\Delta p = 2\sigma \left(\frac{1}{r_{c,c}} - \frac{1}{r_{e,c}} \right) \quad (1)$$

شکل (۱) نحوه قرار گیری مایع در یک شیار مثلثی به همراه پارامترهای مربوطه را نشان می‌دهد. در جریانهای موئینگی که دارای عدد باند بسیار کوچکی هستند، سطح مایع شعاع انجنا ($r_{c,c}$) تقریباً ثابتی خواهد داشت، که بستگی به شکل هندسی مجرای مایع و زاویه تماس مایع با دیواره (α) دارد [۱]. به علت کوچک بودن قطر هیدرولیکی این شیارها، نیروی موئینگی به حدی است که مایع چگالیده شده را از تبخیر کننده به کندانسور باز می‌گرداند. افت فشارهایی که نیروی پمپاژ موئینگی در شیار بایستی بر مجموع آنها غلبه نماید، عبارتند از: افت فشار ناشی از لزجت سیال، افت فشار ایجاد شده در اثر اصطکاک بین مرزهای مایع-بخار و مایع-جامد و افت فشارهای ناشی از نیروهای حجمی. مانند لوله‌های حرارتی معمولی، در اغلب موارد حد موئینگی محدوده عملکرد میکرو لوله‌های حرارتی را مشخص می‌کند. برای مطالعه میکرو لوله‌های حرارتی مدل‌های مختلفی پیشنهاد شده است.

پیترسون [۲] با استفاده از یک مدل تحلیلی در حالت پایدار، یک میکرو لوله حرارتی با مقطع مربع شکل را مورد مطالعه قرار داد. مبنای تحلیل در این مدل، حد موئینگی در میکرو لوله‌های حرارتی می‌باشد. در مدل پیترسون، ابتدا فرض شده است که اثر شتاب جاذبه ناچیز باشد. سپس تأثیر شتاب جاذبه بر عملکرد میکرو لوله‌های حرارتی نشان داده شده است. در این مدل سرعت مرز

محاسبه شتاب خطی بحرانی

شکل (۲-۲) مقطع طولی یک میکرو لوله حرارتی را نشان میدهد که تحت تاثیر شتاب خطی a قرار گرفته است. رابطه تعادل فشارها در یک شیار را می‌توان بصورت زیر بیان نمود:

$$\rho_1 a(H - z) - \frac{2\sigma}{R} = \frac{1}{2} \rho_1 v_z^2 \quad (2)$$

v_z سرعت محوری مایع است که آنرا میتوان بصورت زیر بدست آورد:

$$v_z = \left[2a(H - z) - \frac{4\sigma}{\rho_1 R_1} \right]^{\frac{1}{2}} \quad (3)$$

چون نیروهای اینرسی و موئینگی در خلاف جهت یکدیگر اعمال میشوند، مایع در نقطه ای مانند H' ساکن میگردد ($v_z = 0$). از رابطه (۳) می‌توان H' را بدست آورد:

$$H' = H - \frac{2\sigma}{\rho_1 a R_1} \quad (4)$$

دبی جرمی مایع را میتوان بصورت زیر بیان نمود:

$$V(t) = \int_0^{H'} \delta v_z dz = \delta \int_0^{H'} [2a(H - z) - \frac{4\sigma}{\rho_1 R_1}]^{\frac{1}{2}} dz \quad (5)$$

در رابطه (۵)، δ پهنای شیار می‌باشد (شکل ۲-۶). با انTEGRال گیری و مرتب کردن رابطه (۵) داریم:

$$V(t) = \frac{\delta}{3a} \left[2aH - \frac{4\sigma}{\rho_1 R_1} \right]^{\frac{3}{2}} \quad (6)$$

با توجه به اینکه در حالت پایدار حجم مایع در درون لوله حرارتی ثابت می‌باشد، رابطه زیر را می‌توان نوشت:

$$A_t H_t + A_v H_v = cte \quad (7)$$

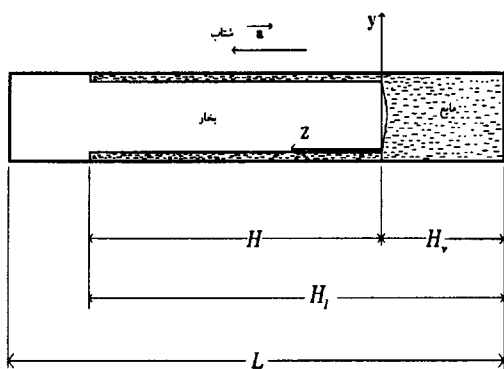
با دیفرانسیل گیری از دو طرف رابطه (۷) و مرتب نمودن آن خواهیم داشت:

$$A_t dH_t = -A_v dH_v \quad (8)$$

از طرفی:

شتاب خطی، نیروی گریز از مرکز و ... بدقت مورد بررسی قرار گیرد. در مقاله حاضر تاکید بر اثرات شتاب خطی می‌باشد. شتابهای جانب به مرکز نسبت به شتابهای محوری اثر بسیار کمتری بر روی قابلیت انتقال حرارت میکرو لوله دارند. این شتابها بر روی زاویه تماس مایع با دیواره لوله و نحوه شکل گیری مرز مشترک مایع - بخار تاثیر می‌گذارند، اما تاثیرات آنها نسبت به شتابهای طولی قابل توجه نیست [۵]. شتابهای محوری اثر زیادی بر ایجاد خشکی در میکرو لوله های حرارتی دارند. در شتابهای بالا، میکرو لوله دچار خشکی شده و پس از قطع شدن شتاب، سیال داخل آن مجدد بخش خشک شده را تر می‌کند. پدیده تر شدگی مجدد موضوع تحقیق تعدادی از محققین بوده است [۵]. کاهش شار حرارتی اعمال شده به میکرو لوله در حین اعمال شتاب، یکی از راههای موثر برای جلوگیری از خشکی میکرو لوله و سوزش آن می‌باشد. در حالتیکه شتاب اعمال شده به میکرو لوله کوچک باشد (عملأ در فضایپیماها و تاسیسات مشابه، شتاب خطی زیاد نیست) پدیده خشکی در آن ایجاد نمیشود. در اینحالت نیروهای موئینگی می‌توانند بر نیروهای اینرسی غلبه نمایند و با وجود اعمال شتاب به میکرو لوله حرارتی، سطح آن همواره تر باقی می‌ماند. با اینحال نیروهای اینرسی که توسط اینگونه شتابها بوجود آمده اند، بر شعاع موئینگی و در نتیجه بر نیروهای موئینگی اثر می‌گذارند. نتیجه نهایی اینکه شتابهای خطی بر قابلیت انتقال حرارت میکرو لوله تاثیر دارند. در مقاله حاضر ابتدا اثرات شتاب محوری بر رفتار مایع در داخل میکرو شیار، به روش تحلیلی بدست آمده و مقدار شتاب خطی بحرانی که بر اثر آن میکرو لوله در آستانه خشک شدگی قرار می‌گیرد، محاسبه گردیده است. سپس برای تعیین مکزیم حرارت انتقال یافته توسط میکرو شیار، از یک روش عددی حجم محدود یک بعدی استفاده شده است. در این روش اثرات نیروی برشی در مرز مایع - بخار نیز منظور گردیده است. به منظور کنترل روش عددی، نتایج برنامه در حالت شتاب خطی صفر استخراج و با نتایج تجربی مرجع [۶] که در حالت شتاب خطی صفر بدست آمده است، مقایسه گردیده که انطباق بسیار خوبی را نشان میدهد.

(a)



$$dH = dH_l - dH_v \quad \text{یا} \quad H = H_l - H_v$$

(۹)

با ترکیب معادلات (۸) و (۹) داریم:

$$dH = \left(1 + \frac{A_l}{A_v}\right) dH_l$$

(۱۰)

از طرفی:

$$dV(t) = -A_l dH_l = \dot{V}(t) dt$$

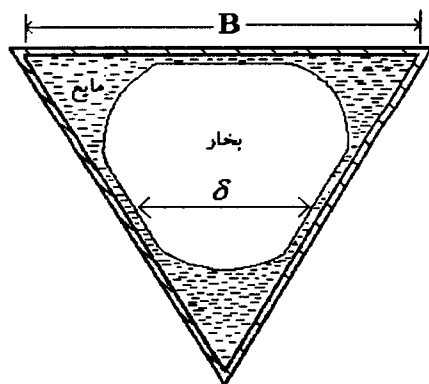
(۱۱)

با ترکیب روابط (۱۰) و (۱۱) و جایگذاری در رابطه (۶) خواهیم داشت:

$$\frac{-A_l A_v}{A_l + A_v} dH = \frac{\delta}{3a} \left[2aH - \frac{4\sigma}{\rho_l R_l} \right]^{3/2} dt \quad (12)$$

در $t=0$ داریم $H=L$. با انتگرال گیری از رابطه (۱۲)، می‌توان رابطه ای برای طول ستون مایع در درون شیار بدست آورد:

$$H_l = L + \frac{A_v}{2a(A_l + A_v)} \left\{ \frac{\delta(A_l + A_v)}{3A_l A_v} t + \left[2aL - \frac{4\sigma}{\rho_l R_l} \right]^{1/2} \right\}^2 - \frac{A_v}{2a(A_l + A_v)} \left[2aL - \frac{4\sigma}{\rho_l R_l} \right] \quad (13)$$



شکل ۲: یک میکرو لوله حرارتی با مقطع مثلثی که تحت اثر شتاب محوری $\ddot{\theta}$ قرار دارد.

تعادل نیروها برای هر یک از حجم کنترل های فوق و از جمله حجم زام به این صورت بیان می شود که: فشار مؤینگی بزرگتر یا مساوی مجموع افت فشارهای مربوط به اصطکاک بین فاز مایع با دیواره لوله، افت فشار مربوط به تنش برشی در فصل مشترک مایع-بخار و افت فشار ناشی از نیروهای حجمی است. نحوه محاسبه این افت فشارها در مرجع [۱] آمده است.

$$\begin{aligned} \sigma \left(\frac{1}{r_{c,l,j+1}} - \frac{1}{r_{c,l,j}} \right) &\geq \rho_i g(z_{j+1} - z_j) \sin \psi + \rho_i a(z_{j+1} - z_j) + \\ & \frac{(f_{l,j} Re_{h,l,j}) \mu_l m_{l,j} \cos^2(\alpha + \phi) (r_{c,l,j+1} + r_{c,l,j})^2}{C^3 \sin^2 \phi \rho_l (r_{c,l,j+1}^2 + r_{c,l,j}^2)^3} (z_{j+1} - z_j) \end{aligned} \quad (14)$$

شرط اینکه در لوله در اثر شتاب محوری پدیده خشک شدگی اتفاق نیافتد آنست که $H_l = L$ باشد. بنابراین در حالت پایدار ($t \rightarrow \infty$), طول ستون مایع H_l به شرطی با کل طول لوله (L) برابر می شود که، مقدار شتاب از $a = \frac{2\sigma}{L\rho_l R_l}$ بیشتر نشود. مقادیر شتاب محوری که برای محاسبه ماکزیمم حرارت منتقل شده توسط میکرو لوله استفاده میشود، همواره کمتر از این مقدار بحرانی در نظر گرفته شده است.

محاسبه ماکزیمم حرارت منتقل شده در میکرو شیار

برای محاسبه ماکزیمم حرارت مبادله شده توسط یک میکرو لوله به روش عددی، شیار لوله حرارتی را مطابق شکل (۳) به N حجم کنترل تقسیم می کنیم.

توجهی روی جریان مایع دارد. معمولاً تاثیر سرعت نسبی فاز بخار بر فاز مایع به کمک یک ضریب اصطکاک f یا $f \cdot Re$ بیان می‌شود. لانگتین [۳]، این اثر را در حالت یک بعدی مطالعه کرده است. پیترسون [۴]، برای دقت بیشتر، جریان موئینگی در یک شیار را بصورت دو بعدی در نظر گرفته است. در مدل پیترسون، سرعت مایع همراه با اثرات جریان بخار با تعریف عدد بی بعد L بصورت زیر منظور شده است:

$$L_v = \frac{\Delta u_{1,j}}{u_{1,f,j}} \quad (15)$$

در رابطه (۱۵) داریم:

$$\Delta u_{1,j} = \bar{u}_{1,j} - \bar{u}_{-j,1} \quad (16)$$

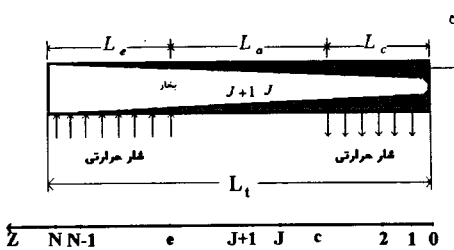
در رابطه (۱۶)، $\bar{u}_{1,j}$ سرعت متوسط سطح آزاد مایع بدون اثرات جریان بخار و $\bar{u}_{-j,1}$ سرعت متوسط سطح آزاد مایع با اثرات جریان بخار می‌باشد [۴]. به این ترتیب پیترسون نشان داد که مقدار L_v به سرعت بخار و سرعت مایع و همچنین به جمله بی بعد $\frac{\rho_1 u_1^{0.5}}{\rho_0 u_0^{0.5}}$ بستگی دارد [۱]. در مقاله حاضر مقادیر $f \cdot Re$ از محاسبات پیترسون [۴] استخراج و مورد استفاده قرار گرفته است.

اکنون با داشتن خواص سیال لوله حرارتی می‌توان معادله (۱۴) را برای تعیین ماکریم قابلیت انتقال حرارت میکرو لوله حل نمود. در مقاله حاضر نتایج بدست آمده برای میکرو لوله ای است که با سیال متانول شارژ شده است (جدول ۱).

جدول ۱: خواص متانول.

$(251) \frac{kg}{m^3}$	چگالی
$(0.18750) \frac{N}{m}$	کشش سطحی
$3.26 \times 10^{-4} \frac{Ns}{m^2}$	لزجت
$(110.1) \frac{KJ}{kg}$	گرمای نهان

رونده حل با یک حدس اولیه برای مقدار حرارت



شکل ۳: نمای جانبی یک میکرو لوله.

در رابطه (۱۴)، a شتاب محوری اعمال شده به میکرو لوله می‌باشد. حجم کنترل τ ام، در شکل (۱) نشان داده شده است. می‌باشد. معادله (۱۴) را میتوان بطور مستقل به قسمتهای اوپریتور، آدیاباتیک و کندانسور اعمال نمود.

در هر یک از این قسمتهای دبی جرمی، $m_{1,j}$ ، با یکدیگر متفاوت می‌باشد. $m_{1,j}$ برای هر قسمت به مقدار حرارت انتقال یافته توسط میکرو لوله حرارتی ارتباط پیدا می‌کند. عملأ با کاهش ضخامت متوسط فیلم مایع در داخل شیار یک میکرو لوله حرارتی، شار حرارتی انتقال یافته افزایش میابد. افزایش شار حرارتی در میکرو لوله های حرارتی تقریباً بصورت خطی می‌باشد. لذا در این مقاله شار ورودی به میکرو لوله بصورت خطی در نظر گرفته شده است. نحوه بدست آوردن $m_{1,j}$ با فرض شار ورودی خطی به میکرو لوله، در مرجع [۱] آمده است.

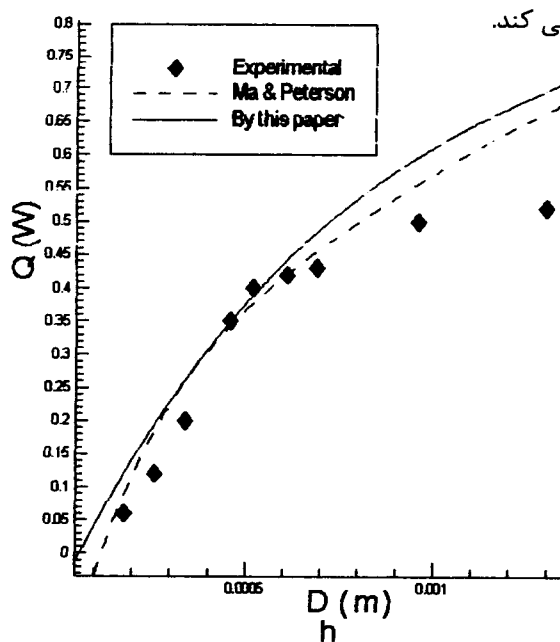
حل معادله (۱۴) نیازمند دو شرط مرزی است. این شرایط مرزی عبارتند از: شعاع موئینگی در اولین حجم کنترل و شعاع موئینگی در آخرین حجم کنترل. در اولین حجم کنترل، شعاع موئینگی از روی ابعاد مقطع شیار بدست می‌آید. با نوشتن رابطه ای برای موازنۀ جرم برای آخرین حجم کنترل، شعاع موئینگی (شرط مرزی دوم) بدست میابید. رابطه مربوط به موازنۀ جرم برای آخرین حجم کنترل با این فرض بدست میابید که، مقدار مایع تبخیر شده در N امین حجم کنترل برابر با مقدار مایع وارد شده به آن است [۱].

اثرات نیرو های برشی در فصل مشترک مایع-بخار

در میکرو لوله های حرارتی، جریان بخار اثر قابل

انتقال یافته توسط شیار مزبور به همراه اثرات شتابهای طولی بررسی شده است.

بررسی انجام شده توسط نگارندگان مقاله حاضر نشان داد که، مطالعه تجربی بر روی میکرو لوله هایی که شتابهای خطی به آنها اعمال شده باشد، فعلًا موجود نیست و آزمایش‌های انجام شده عمدتاً مربوط به حالت شتاب صفر ($a=0$) می باشد، لذا برای مقایسه، برنامه کامپیوتوری در حالت شتاب صفر اجرا و منحنی شکل (۴) بدست آمده است. بطوريکه ملاحظه میشود، در حالت شتاب صفر، مقدار Q با افزایش D_h ، ازدیاد پیدا می کند. همچنین در روی این شکل، نتایج تجربی مرجع [۶] برای $a=0$ استخراج شده و مورد مقایسه قرار گرفته است. بطوريکه ملاحظه میشود، نتایج عددی و تجربی در حالت $a=0$ تا $a=0.1 = 0.001 D_h$ به طرز مناسبی با منحنی حل عددی انتطاق دارد و از آن به بعد تفاوت آشکار پیدا می کند.



شکل ۴: مقایسه نتایج این مقاله با نتایج آزمایش .
 $\alpha = 0^\circ$ ، $L = 0.05\text{m}$ ، $2\phi = 60^\circ$ ، $\psi = 140^\circ$.

طبق رابطه (۱)، شعاع موئینگی بر مقدار نیروی موئینگی تاثیر بسزایی دارد و نیروی موئینگی نیز عامل اصلی برگشت مایع از کندانسور به اوپریتور می باشد. شتابهای محوری بر روی شعاع موئینگی مایع و در نتیجه بر نیروی موئینگی تاثیر می گذارند. شکل (۵) تغییرات شعاع موئینگی در اثر شتابهای محوری در طول لوله حرارتی را

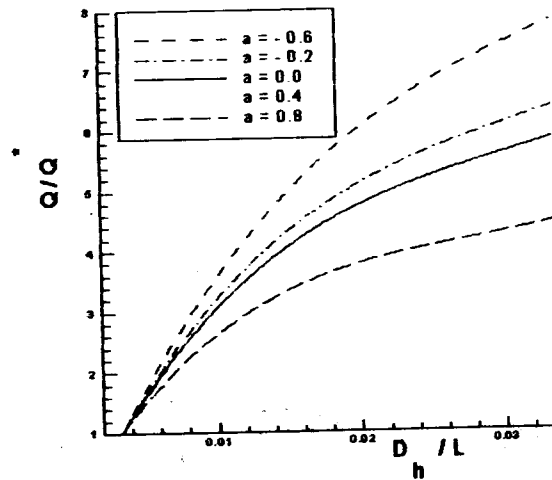
انتقال یافته توسط میکرو لوله آغاز می شود. با این حدس اولیه، دبی جرمی ورودی به اولین حجم کنترل، $m_{1,1}$ ، محاسبه می شود. با داشتن دبی جرمی، سرعت مایع در درون شیار با اثرات جریان بخار، بدست میابد. در نتیجه عبارت $f \cdot Re$ در معادله (۱۴) را می توان محاسبه نمود [۱]. با داشتن شتاب اعمال شده به میکرو لوله، خواص سیال و مشخصات هندسی میکرو لوله حرارتی، می توان با استفاده از معادله (۱۴)، شعاع موئینگی مایع را در دومین حجم کنترل بدست آورد. این روند را ادامه می دهیم تا به آخرین حجم کنترل بررسیم. مقدار شعاع موئینگی مایع در آخرین حجم کنترل که از معادله (۱۴) بدست آمده است، با مقداری که بعنوان شرط مرزی تعریف کرده ایم تفاوت دارد. در این وضعیت، مقدار حرارت انتقال یافته توسط میکرو لوله را افزایش می دهیم و مجدداً از معادله (۱۴) و با استفاده از روشی بیان شده، شعاع موئینگی را در آخرین حجم کنترل بدست میابویم. این روند را تا جایی ادامه می دهیم که شعاع موئینگی حاصل از حل معادله (۱۴) برای آخرین حجم کنترل با شرط مرزی در آخرین حجم کنترل مساوی شود. این مقدار گرمای انتقال یافته را بعنوان ماکزیمم قابلیت انتقال حرارت میکرو لوله در نظر می گیریم. روند فوق را برای شتابهای محوری مختلف به کار می بردیم تا اثر تغییرات شتاب محوری را بر قابلیت انتقال حرارت میکرو لوله حرارتی مشاهده کنیم.

بحث و نتیجه گیری

اغلب میکرو لوله های حرارتی که تا کنون ساخته شده اند، دارای سه یا چهار شیار مثلثی هستند. به همین دلیل برای اینکه بتوان نتایج حاصل از این مقاله را به هر نوع میکرو لوله ای تعمیم داد، تنها یک شیار موئینگی مورد بررسی قرار گرفته است. به منظور مقایسه نتایج عددی بدست آمده با نتایج تجربی، طول قسمت کندانسور میکرو لوله را بر اساس پیشنهاد مرتع [۱] صفر در نظر گرفته ایم. با توجه به این فرض، می توان از ضریب انتقال حرارت تقطیر صرف نظر نمود. زاویه تماس مایع با دیواره در طول شیار اندکی تغییر می کند، لیکن چون تغییرات این زاویه ناچیز است، مقدار آن ثابت فرض می شود [۱]. بر مبنای این شرایط، ماکزیمم حرارت

بیشتر با بخار در تماس قرار گرفته و از نرخ انتقال حرارت در شتابهای بزرگتر کاسته می‌شود.

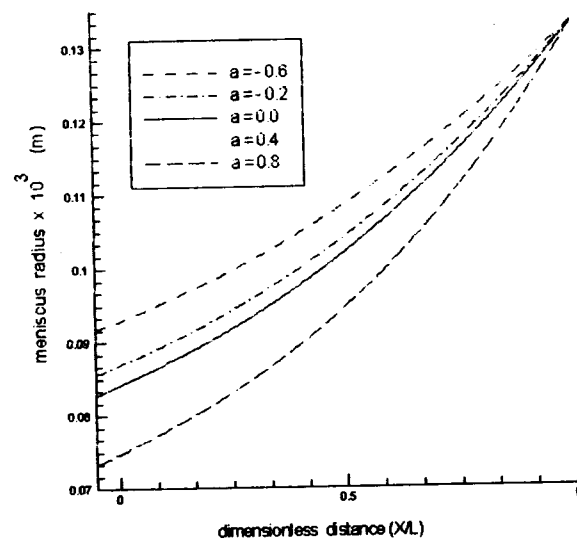
همچنین در شکل (۶)، مشاهده می‌کنیم که با معکوس شدن جهت شتاب، بدلیل اینکه نیروی اینرسی با نیروی موئینگی همجهت می‌شود، گرمای منتقله بیشتر می‌گردد. بدین ترتیب در حالت شتاب معکوس، امکان ترشدگی جداره لوله بطور دائمی تضمین خواهد شد. و هر قدر شتاب بیشتر شود، سطح بیشتری از لوله با مایع در تماس قرار می‌گیرد (برخلاف حالت شتاب موفق) و سطح تماس لوله با بخار کوچکتر و کوچکتر خواهد شد و در نتیجه مقدار کل گرمای انتقال یافته از دیاباد پیدا خواهد کرد. در شکل (۷)، Q' حرارت انتقال یافته توسط میکرو لوله‌ای است که دارای قطر هیدرولیکی ۰/۰۰۰۲ متر (۲۰۰ میکرون) می‌باشد



شکل ۶: اثر شتاب خطی بر حرارت انتقال شده
 $a = -0.6, -0.2, 0.0, 0.4, 0.8$.
 $\alpha = 0^\circ, \psi = 130^\circ, \phi = 60^\circ, D_h = 0.0002\text{m}, L = 0.06\text{m}$.

شکل (۸) تغییرات شار حرارتی بی بعد شده (انتقال حرارت بر واحد سطح موثر) را بر حسب نسبت بی بعد قطر به طول (D/L) میکرو لوله نشان می‌دهد. همانطوریکه ملاحظه می‌شود، برای یک شتاب محوری معین، شار حرارتی دارای یک مقدار ماقریزم است. این مقدار ماقریزم مربوط به میکرو لوله‌ای می‌باشد که دارای نسبت قطر به طول (D/L) معینی است. همچنین با ازدیاد شتاب نقطه ماقریزم به سمت راست منتقل می‌شود و این بدین معناست که با افزایش اندازه شتاب مثبت،

نشان می‌دهد. بطوریکه از این شکل مشاهده می‌شود، افزایش شتاب باعث کاهش شعاع موئینگی گشته است. چون نیروی موئینگی متناسب با عکس شعاع است، لذا می‌توان گفت افزایش شتاب در واقع باعث افزایش نیروی موئینگی می‌گردد. در همین شکل تأثیر شتاب خطی معکوس را مشاهده می‌کنیم. با معکوس شدن جهت شتاب، نیروی اینرسی با نیروی موئینگی هم جهت می‌شود. هر چقدر مقدار مطلق شتاب معکوس از دیاباد پیدا کند، شعاع موئینگی مایع زیاد خواهد شد و درست عکس حالتی که شتاب مثبت است اتفاق می‌افتد.

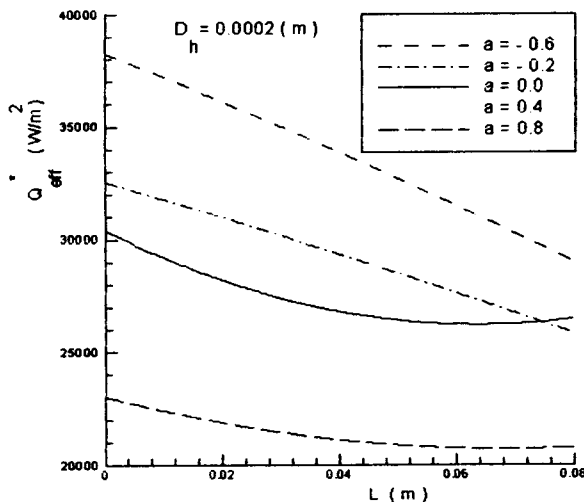


شکل ۵: اثر شتاب خطی بر شعاع موئینگی مایع
 $a = -0.6, -0.2, 0.0, 0.4, 0.8$.
 $D_h = 0.0002\text{m}, \phi = 60^\circ, \alpha = 0^\circ, L = 0.06\text{m}$
 $(\psi = 130^\circ)$.

شکل (۶)، اثر شتاب خطی بر حرارت انتقال یافته توسط میکرو لوله را نشان می‌دهد. با افزایش مقدار شتاب، حرارت منتقل شده کاهش پیدا می‌کند. همچنین در یک شتاب معین، حرارت انتقال یافته با ازدیاد قطر هیدرولیکی افزایش می‌آید. دلیل کاهش حرارت منتقل شده در اثر شتابهای مثبت را می‌توان به این صورت تعبیر نمود که: نیروهای اصطکاکی و نیروهای موئینگی هر دو با شعاع موئینگی از دیاباد پیدا می‌کنند. ولی نرخ از دیاباد نیروهای اصطکاکی بیشتر از نیروهای موئینگی است.

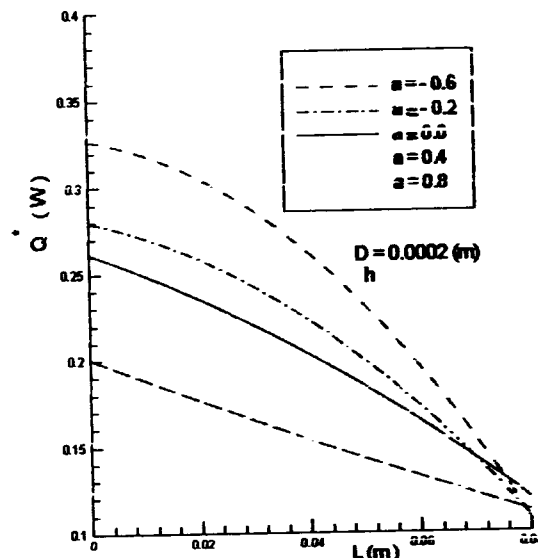
با غلبه نیروهای اصطکاکی، حرکت مایع در طول لوله کندر صورت می‌گیرد. به این ترتیب سطح جداره لوله

یک میکرو لوله برای نسبت طول به قطرهای مختلف (تا ۴۰۰) ارائه شده است. بطوریکه دیده میشود در یک لوله معین، قابلیت انتقال حرارت مؤثر Q_{eff}^* به شدت به جهت شتاب و قدر مطلق آن بستگی دارد. با افزایش L/D ، Q_{eff}^* در تمام حالات کاهش میابد.

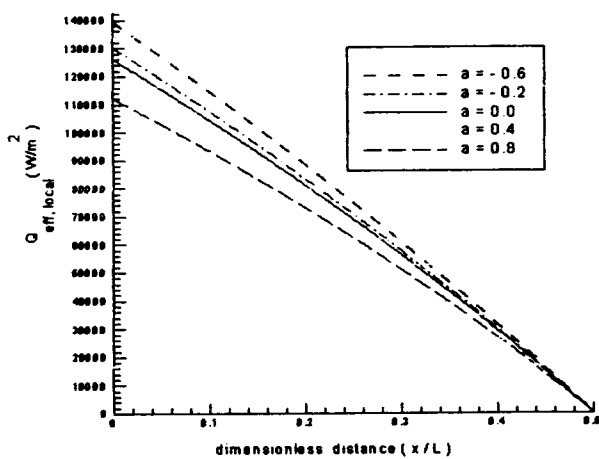


شکل ۹: اثر شتابهای خطی بر شار حرارتی موثر.
($\psi = 140^\circ$, $D_h = 0.0002 \text{ m}$, $\alpha = 0^\circ$, $\theta = 60^\circ$)

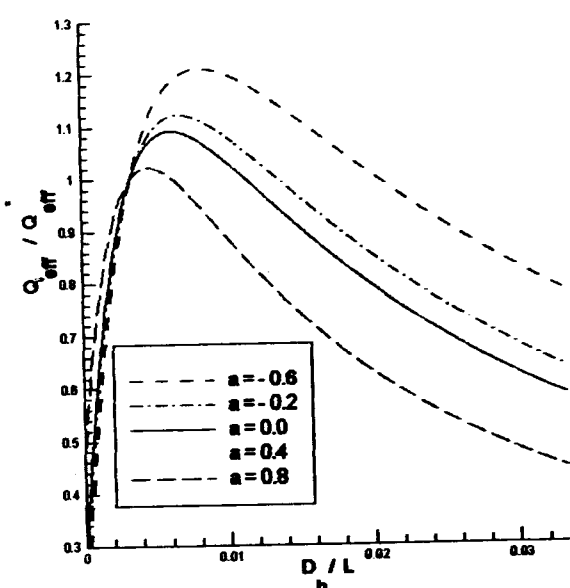
کارآمد ترین میکرو لوله‌ای است که دارای نسبت قطر هیدرولیکی به طول (D/L) بیشتری باشد. با افزایش اندازه شتاب منفی، میکرو لوله‌هایی با نسبت (D/L) کمتر، موثر تر خواهند بود.



شکل ۷: تغییرات حرارت انتقال یافته بر حسب طول لوله حرارتی در شتابهای مختلف.
($\psi = 140^\circ$, $D_h = 0.0002 \text{ m}$, $\theta = 60^\circ$, $\alpha = 0^\circ$)



شکل ۱۰: تغییرات شار حرارتی موثر محلی بر حسب فاصله بی بعد ($\psi = 140^\circ$, $D_h = 0.0002 \text{ m}$, $\theta = 60^\circ$, $\alpha = 0^\circ$).

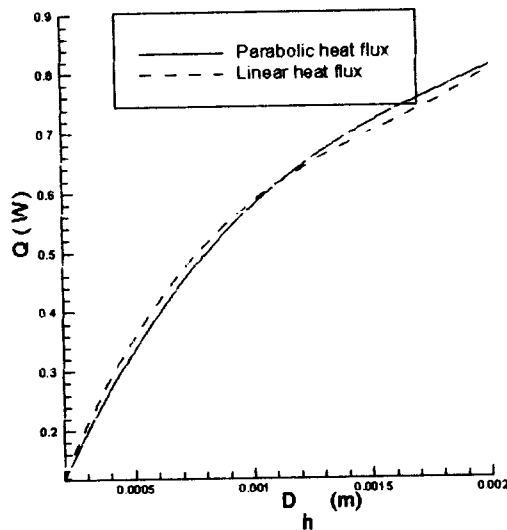


شکل ۸: اثر شتابهای خطی بر شار حرارتی موثر.
($\psi = 140^\circ$, $\theta = 60^\circ$, $\alpha = 0^\circ$).

شکل (۱۰) نحوه تغییرات شار حرارتی موثر محلی ($Q_{eff,local}$) را بر حسب فاصله محوری بی بعد نشان میدهد. بطوریکه ملاحظه میشود، شار حرارتی در حالت شتاب صفر بصورت خطی تغییر می نماید. این نتیجه با

در شکل (۹) تغییرات Q_{eff}^* شار حرارتی موثر در مورد

نشان می دهد. در این شکل مشاهده می کنیم که با بزرگتر شدن قطر هیدرولیکی میکرو لوله، توزیع شار حرارتی از حالت خطی خارج شده و تا حدی به شکل سهمی درآمده است. به منظور بررسی اثرات انحراف شار حرارتی موضعی از حالت خطی، برنامه کامپیوتری در دو حالت شار حرارتی سهمی و شار حرارتی خطی اجرا گردیده است. نتایج در شکل (۱۳) نشان داده شده است. همانطوریکه از این شکل مشاهده میشود، در نظر گرفتن توزیع شار در اوپریتور بصورت سهمی اختلاف زیادی با حالت خطی ندارد و می توان با تقریب خوبی توزیع شار را برای تمام قطرهای هیدرولیکی بصورت سهمی در نظر گرفت.

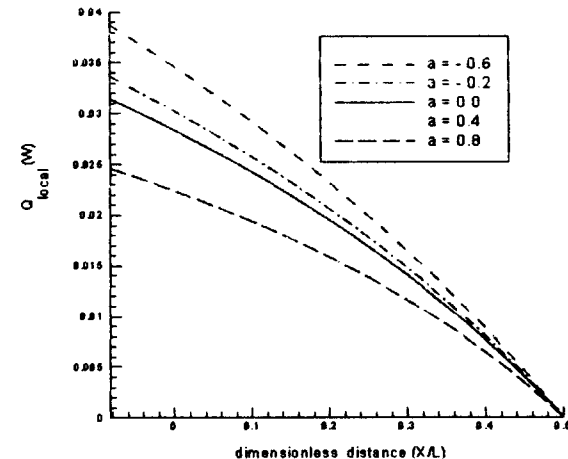


شکل (۱۳) : اثرات نحوه توزیع شار بر روی حرارت انتقال یافته توسط یک میکرو لوله ($\alpha = 0^\circ$, $\phi = 60^\circ$, $\psi = 140^\circ$).

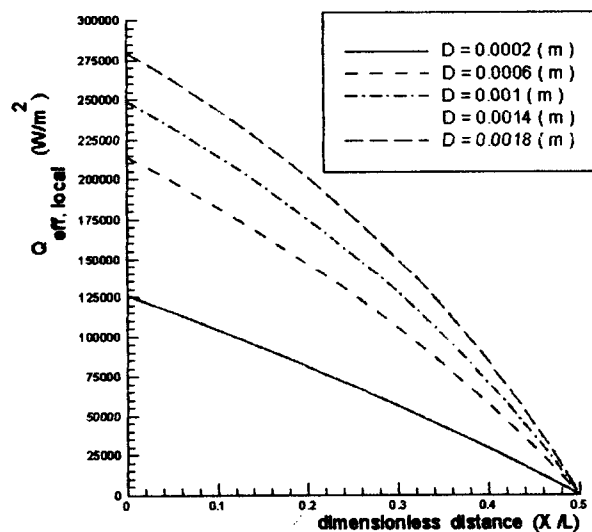
شکل (۱۴) اثرات قطر هیدرولیکی را بر روی حرارت انتقال یافته محلی (Q_{local}) نشان می دهد. در این شکل مشاهده می کنیم که برای میکرو لوله هایی با قطر هیدرولیکی بزرگ، حرارت منتقل شده محلی بصورت سهمی شکل در طول اوپریتور فراشیش میابد. در حالیکه در قطر هیدرولیکی کوچکتر، این افزایش خطی می باشد.

در موارد عملی، مقدار حرارتی که یک جسم مولد گرما تولید می نماید معلوم است و ما در اثر شتابهای مختلف، مایلیم یک میکرو لوله با اندازه مشخص برای دفع این گرما انتخاب نمائیم. شکل (۱۵) این امکان را فراهم میابد که

تحقیقات انجام شده توسط پیترسون [۶,۱] مطابقت دارد. اما با افزایش شتاب، شار حرارتی کاهش میابد، در حالیکه توزیع شار تقریباً بصورت خطی باقی می ماند. شکل (۱۱) اثر شتابهای خطی بر روی حرارت انتقال یافته محلی (Q_{local}) را نشان می دهد.



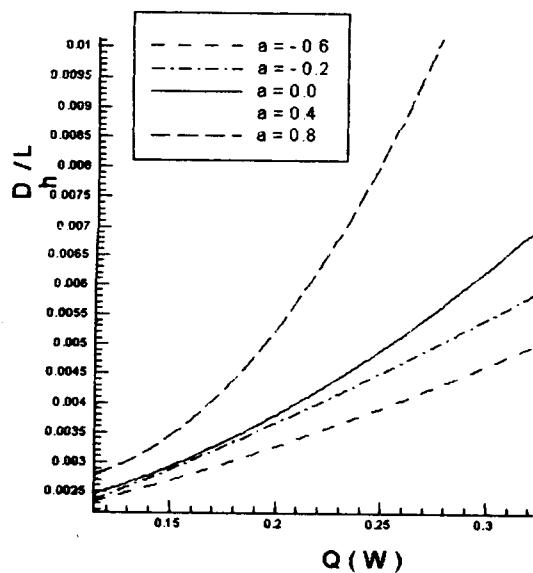
شکل (۱۱) : اثر شتابهای خطی بر روی حرارت انتقال یافته موضعی در قسمت اوپریتور.
 $(\psi = 140^\circ, \phi = 60^\circ, D = 0.0002 \text{ m}, \alpha = 0^\circ)$



شکل (۱۲) : اثرات قطر هیدرولیکی میکرو لوله بر نحوه توزیع شار در قسمت اوپریتور در حالت بدون شتاب.
 $(\psi = 140^\circ, \phi = 60^\circ, \alpha = 0^\circ)$

شکل (۱۲) اثرات قطر هیدرولیکی میکرو لوله بر نحوه توزیع شار در قسمت اوپریتور در حالت بدون شتاب را

بر نحوه توزیع شار حرارتی ندارد. با اعمال شتاب در جهتی که پدیده خشکی را تسريع نماید، مشاهده گردید که میکرو لوله ای که قطر هیدرولیکی کمتری دارد، دارای راندمان بیشتری است و بر عکس با افزایش قطر هیدرولیکی میکرو لوله راندمان کاهش می یابد. مقایسه نتایج عددی بدست آمده با نتایج تجربی موجود که توسط سایر محققین ارائه شده نشان می دهد که روش پیشنهادی تطابق خوبی با نتایج تجربی دارد. از نتایجی که در اینجا ارائه گردیده میتوان برای طراحی بهینه میکرو لوله هایی که تحت اثر شتابهای خطی ثابت قرار دارند استفاده نمود.



شکل ۱۵: منحنی تغییرات قطر به طول میکرو لوله حرارتی بر حسب حرارت منتقل شده توسط میکرو لوله در شتابهای مختلف (۰° = α ، 60° = β ، 130° = ψ).

فهرست علائم

a : شتاب محوری (m/s^2)

A_g : سطح تبخیر کننده

B : طول ضلع مقطع میکرو لوله، (m)

C : ثابت هندسی

D : قطر (m)

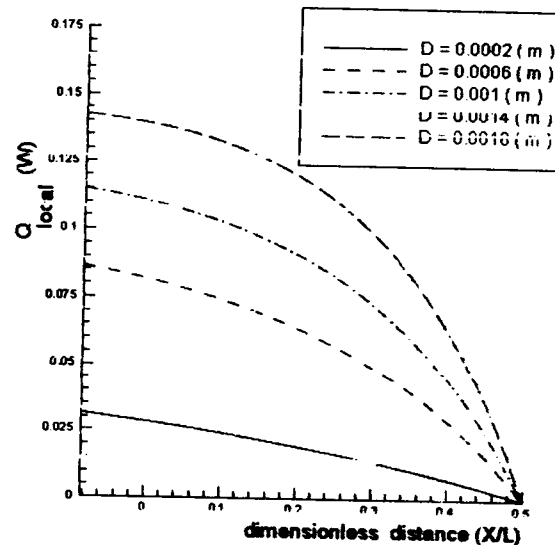
f : ضریب اصطکاک

g : شتاب جاذبه (m/s^2)

H : طول ستون مایع (m)

بتوانیم برای این منظور میکرو لوله مناسب را طراحی نمائیم. به این ترتیب که مقدار گرمایی که باید دفع شود روی محور افقی انتخاب می شود و برای حداکثر شتاب اعمال شده، نسبت قطر به طول میکرو لوله را محاسبه می کنیم.

از نتایج این مقاله می توان در مورد نصب میکرو لوله ها در قطعات الکترونیکی بکار رفته در فضای پیماها و ... استفاده نمود.



شکل ۱۶: اثرات قطر هیدرولیکی میکرو لوله بر روی حرارت انتقال یافته موضعی در قسمت اوپریتور در حالت بدون شتاب ($\psi = 130^\circ$ ، $\beta = 60^\circ$ ، $\alpha = 0^\circ$).

نتیجه گیری

در این مقاله روشی برای پیش بینی اثر شتابهای خطی ثابت بر مکانیزم قابلیت انتقال حرارت در میکرو لوله های حرارتی ارائه گردید. در این روش ابتدا شتاب بحرانی که میکرو لوله را در آستانه خشکی قرار میدهد محاسبه و آنگاه با در نظر گرفتن اثرات این شتاب خطی، مشخصه های میدان جریان در داخل لوله تعیین می گردد. این روش بر مبنای حد موئینگی استوار است، و در آن معادلات حاکم بر مسئله بصورت عددی حل شده اند. نتایج بدست آمده نشان میدهد که جهت و مقدار شتاب اعمال شده به میکرو لوله بر روی حد موئینگی و در نتیجه بر قابلیت انتقال حرارت میکرو لوله تاثیر بسزایی دارد. همچنین نشان داده شد که اعمال شتاب تاثیر محسوسی

ρ : چگالی، ($\frac{kg}{m^3}$)	h_{fg} : گرمای نهان تبخیر (KJ / Kg)
σ : کشش سطحی، ($\frac{N}{m}$)	L : طول (m)
τ : تنش برشی، ($\frac{N}{m^2}$)	L_v : عدد بی بعد مایع-بخار
ϕ : نصف زاویه شیار، (درجه)	m : دمی جرمی (Kg / s)
ψ : زاویه تمایل لوله، (درجه)	p : فشار (N / m^2)
δ : پهنای شیار، (m)	Q : حرارت منتقل شده (W)
زیر نویسها	Q_{eff}^* : شار حرارتی موثر
a : آدیباتیک	R : شعاع موئینگی، (m)
c : موئینگی	r : مختصه شعاعی، (m)
h : هیدرولیکی	Re : عدد رینولدز
j : شماره حجم کنترل	u : سرعت، ($\frac{m}{s}$)
l : مایع	z : مختصه طولی، (m)
s : سطح	
v : بخار	
	نمادهای یونانی
	α : زاویه تماس مایع با دیواره، (درجه)
	θ : مختصه زاویه ای، (درجه)
	μ : لزجت، ($\frac{Ns}{m^2}$)

مراجع

- 1 - Peterson, G. P. and Ma, H. B. (1996). "Theoretical analysis of the maximum heat transport in triangular grooves-a study of idealized micro heat pipes." *ASME Journal of Heat Transfer*, Vol. 118, PP. 731-739.
- 2 - Babin, B. R., Peterson, G. P., and Wu, D. (1990). "Steady state modeling and testing of a micro heat pipe." *ASME Journal of heat transfer*, Vol. 112, PP. 595-601.
- 3 - Longtin, J. P., Badran, B., and Gerner, F. M. (1994). "A one dimensional model of a micro heat pipe during steady-state operation." *ASME Journal of heat transfer*, Vol. 116, PP. 709-715.
- 4 - Ma, H. B., Peterson, G. P. and Lu, X. J. (1994). "The influence of vapor-liquid interactions on the liquid pressure drop in triangular micro grooves." *Int. J. Heat Mass Transfer*, Vol. 37, No. 15, PP. 2211-2219.
- 5 - Peterson, G. P. (1994). *An Introduction to heat pipes, modeling, testing, and applications*. John Wiley & Sons, Inc.
- 6 - Ma, H. B. and Peterson, G. P. (1996). "Experimental investigation of the maximum heat transport in triangular grooves." *ASME Journal of Heat Transfer*, Vol. 118, PP. 740-746.
- 7 - White, F. M. (1994). *Viscous fluid flow*. McGraw-Hill, Inc.
- 8 - Ayyaswamy, P. S., Catton, I., and Edward, D. K. (1974). "Capillary flow in triangular grooves." *ASME Journal of Applied Mechanics*, Vol. 41, PP. 332-336.
- 9 - Khrustalev, D. and Faghri, A. (1994). "Thermal analysis of a micro heat pipe." *ASME Journal of Heat Transfer*, Vol. 116, PP. 189-198.

-
- 10 - Ha, J. M. and Peterson, G. P. (1996). "The interline heat transfer of evaporating thin films along a micro grooved Surface." *Journal of Heat Transfer*, Vol. 118, PP. 747- 754.
- 11 - Ha, J. M. and Peterson, G. P. (1998). "The heat transport capacity of micro heat pipes." *ASME Journal of Heat Transfer*, Vol. 120, PP. 1064-1071.
- 12 - Ma, H. B. and Peterson, G. P. (1999). "Temperature response of heat transport in a micro heat Pipe." *ASME Journal of Heat Transfer*, Vol. 121, PP. 438-445.